

بررسی پایداری قاب‌های فضایی تحت اثر بارهای دینامیکی با استفاده از تئوری تیرستون

رضا عباس نیا
استادیار

فریدون امینی
استادیار

حامد صفاری
استادیار

دانشکده مهندسی عمران، دانشگاه علم و صنعت ایران

چکیده

در این مقاله روشی برای تحلیل دینامیکی غیرخطی سازه‌های فضایی ارائه شده است. در این روش با استفاده از تئوری تیر-ستون اثرات نیروی محوری بر روی ساخته‌های خمشی و بیجشی اعضا منظور گردیده و فرمولبندی اویلرین برای در نظر گرفتن تغییر مکان‌ها و دوران‌های بزرگ انتخاب شده است. برای منظور نمودن دوران‌های بزرگ عضو از ماقربس راهنمای عضوی^۱ استفاده شده و سپس روش نیوسمارک برای تحلیل دینامیکی غیرخطی به کار رفته است و با استفاده از آن رفتار چند قاب شناخته شده تحت اثر بارهای دینامیکی مورد بررسی قرار گرفته است. نخست پایداری قاب تحت اثر بارهای دینامیکی (متلثی و سینوسی با زمان محدود و بار مستطیلی با زمان نامحدود) مورد بحث قرار گرفته و اثرات زمان اعمال بار و نوع بار بر روی بار بحرانی سازه نشان داده شده است و سپس اثرات بارهای قائم بر روی سازه مستأثر از نیروی زلزله بررسی شده است. در این مقاله نشان داده شده که اگر میزان بار قائم درصد قابل ملاحظه‌ای از بار بحرانی استاتیکی سازه باشد، کاهشی غیرقابل انفصال در برش پایه ناشی از نیروی زلزله ایجاد می‌گردد.

Stability of Space Frame Under Dynamic Loading Using Beam - Column Theory

F. Amini
Assistant Professor

R. Abbasnia
Assistant Professor

H. Safari
Assistant Professor
Civil Engineering Department ,
Iran Science and Technology University

Abstract

In this paper a method for nonlinear dynamic analysis of space structures is presented. To consider the effects of axial forces on bending and torsional stiffness the beam - column theory is used. The method is based on an Eulerian formulation which takes into consideration the effect of large going translation and rotation.

The method employs an member orientation matrix to consider large rotation. Nonlinear dynamic analysis is based on the Newark method and the behavior of the several frames are evaluated. Stability of frame under dynamic loading (triangular, sinusoidal and step load of finite duration) is considered first, and then the effects of duration of loading on critical load of the structure is presented. In addition, the effects of vertical loads on the nonlinear response of the structures under the earthquake load is studied.

It is shown that if the vertical loads are considerable with respect to critical load the base shear force of structure is reduced.

مقدمه

کاهش طول اعضا در نظر گرفته شده است. دوران های بزرگ گره ها با استفاده از مفهوم ماتریس راهنمای گرهی (۲) منظور شده و دوران های اعضا با استفاده از ماتریس راهنمای عضوی در نظر گرفته شده است. برای ارضای معادلات حرکت از روند تکرار نیوتون رافسون استفاده شده است.

۲- تحلیل دینامیکی غیرخطی

۲-۱- روابط نیرو و تغییر شکل عضو

عضوی با مقطع منشوری از سازه فضایی مطابق شکل (۱) در نظر گرفته می شود. اگر $\{F\}$ و $\{\bar{F}\}$ به ترتیب نیروهای عضوی در دستگاه مختصات عمومی دوستگاه مختصات عضو باشند، آنگاه رابطه بین $\{\bar{F}\}$ و $\{F\}$ به صورت زیر نوشته می شود.

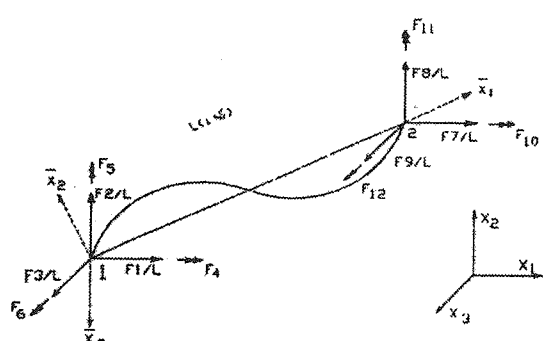
$$\{F\} = [R] \{\bar{F}\} \quad (1)$$

به طوری که $[R]$ ماتریس انتقال می باشد:

$$[R] = \begin{bmatrix} [r] & 0 & 0 & 0 \\ 0 & [r] & 0 & 0 \\ 0 & 0 & [r] & 0 \\ 0 & 0 & 0 & [r] \end{bmatrix} \quad (2)$$

و $[r]$ ماتریس راهنمای عضوی است، که روش محاسبه آن در مرجع [۴] آمده است. همچنین نیروهای عضوی توسط رابطه (۳) به نیروهای انتهائی عضو کوتاه شده مرتبط می گردند.

$$\{\bar{F}\} = [\bar{B}] \{\bar{S}\} \quad (3)$$



شکل (۱) نیروهای انتهایی اعضا.

در رابطه با عملکرد غیرخطی سازه ها تحت اثر بارهای استاتیکی تحقیقات زیادی انجام شده است [۴-۱]، تا حدی که مشخصات آئین نامه ای جهت طراحی براساس تحلیل غیرخطی نیز ارائه شده است. لیکن در رابطه با واکنش غیرخطی سازه ها تحت اثر بارهای دینامیکی توجه زیادی معطوف نگردیده است. پیچیدگی روابط فرمول بندی دینامیکی غیرخطی یکی از عوامل این عدم توجه می باشد. بارهای ناشی از باد و زلزله در اکثر سازه های ساختمانی و بارهای دینامیکی ناشی از ماشین آلات در ساختمان های صنعتی همواره باعث ایجاد صدمات جبران ناپذیری گردیده است. اینگونه بارها در گره های سازه ایجاد تغییر مکان های بزرگ و در اعضای سازه ایجاد دوران ها و نیروهای بزرگ می تمایند، بنابر این تحلیل خطی دیگر تخمین درستی از رفتار واقعی سازه به دست نمی دهد، در نتیجه مطالعات در زمینه رفتار دینامیکی غیرخطی ضروری به نظر می رسد.

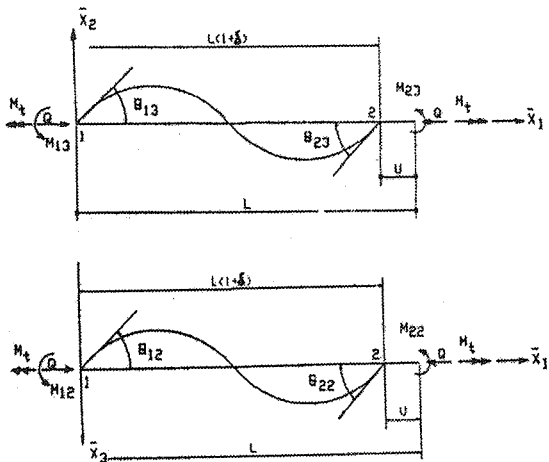
عملکرد غیرخطی سازه ناشی از موارد مختلفی می باشد: ۱ - هندسه غیرخطی، (در اثر اعمال بار در سازه تغییر شکل های بزرگ ایجاد می گردد، همچنین اثر متقابل نیروهای ایجاد شده در اعضا، سختی آنها را تغییر می دهد) ۲ - مصالح غیرخطی، (رفتار غیرخطی و غیر ارجاعی مصالح باعث تغییراتی در سختی سازه می گردد) ۳ - اینرسی، (توزيع اینرسی وابسته به حرکت دینامیکی و تغییر شکل های سازه است) ۴ - میرائي، (که وابسته به نوع اتصالات و مصالح به کار رفته در ساختمان می باشد). الگوريتم و فرمول بندی مناسبی توسط اران و کاسمالی [۵-۶] و عادلی و گیر [۷] برای تحلیل غیرخطی دینامیکی ارائه شده و پایداری خرپاهای فضایی تحت اثر بارهای دینامیکی توسط کاسمالی و بیدهندی [۸] مورد بررسی قرار گرفته است. همچنین پایداری خرپاهای فضایی تحت اثر بارهای دینامیکی با توجه به هندسه غیرخطی و رفتار غیرخطی ارجاعی مصالح توسط زو و همکاران [۹] مورد بحث قرار گرفته است.

در این مقاله پایداری قاب های فضایی با توجه به اثرات غیرخطی هندسی مورد بررسی قرار گرفته و سپس در رابطه با اثرات نیروهای، قائم بر روی پاسخ سازه ناشی از نیروهای زلزله بحث شده است، اثرات نیروی محوری بر روی سختی های خمشی و پیچشی با استفاده از تئوری تیرستون منظور شده و اثرات اتحنا در

به طوری که:

$$[\bar{B}] = \begin{bmatrix} 0 & 0 & 0 & 0 & 0 & 1 \\ \frac{1}{1+\delta} & \frac{1}{1+\delta} & 0 & 0 & 0 & 0 \\ 0 & 0 & \frac{1}{1+\delta} & \frac{1}{1+\delta} & 0 & 0 \\ 0 & 0 & 0 & 0 & -1 & 0 \\ 0 & 0 & 1 & 0 & 0 & 0 \\ 1 & 0 & 0 & 0 & 0 & 0 \\ 0 & 0 & 0 & 0 & 0 & -1 \\ \frac{1}{1+\delta} & \frac{1}{1+\delta} & 0 & 0 & 0 & 0 \\ 0 & 0 & \frac{1}{1+\delta} & \frac{1}{1+\delta} & 0 & 0 \\ 0 & 0 & 0 & 0 & 1 & 0 \\ 0 & 0 & 0 & 1 & 0 & 0 \\ 0 & 1 & 0 & 0 & 0 & 0 \end{bmatrix}$$

(۴)



شکل (۲) نیروهای انتهایی مطابق با تغییر شکل های انتهایی.

به طوری که: A سطح مقطع عضو، E مدول الاستیسته، I_j ممان اینزرسی حول محور x_j عضو، C_{1j} و C_{2j} پایداری، C_{bj} ضریب اصلاح طول حول محور x_j و C_b ضریب سختی پیچشی می باشد که به تفصیل در مرجع [۱۱] آمده اند.

۲-۲- معادله حرکت سیستم

فرض می شود که جرم ها در گره ها متمرکز بوده و از اثرات میرایی صرف نظر می گردد. آنگاه معادله حرکت سازه را می توان به صورت زیر نوشت.

$$[M] \{ \ddot{X} \} + \{ f \} = \{ P \} \quad (10)$$

به طوری که: $\{P\}$ نیروهای خارجی اعمال شده بر گرهها، $\{f\}$ برآیند نیروهای داخلی، $\{X\}$ مختصات گرهها پس از تغییر شکل، $[M]$ ماتریس قطری جرم و $\{\ddot{X}\}$ بردار شتاب گره ها می باشد. روابط نیرو - تغییر شکل که در بخش ۲-۱ ارائه شده نشانگر این نکته است که بردار $\{f\}$ تابع غیرخطی نسبت به $\{X\}$ است، برای راحتی محاسبات از معادلات نمایی \ddot{X} حرکت استفاده می شود:

$$[M] \{ \Delta \ddot{X} \} + \{ \tau \} \{ \Delta X \} = \{ \Delta P \} \quad (11)$$

به طوری که $\{ \Delta P \}$ بردار افزایش بار می باشد و $\{ \Delta \ddot{X} \}$ به ترتیب تغییرات بردارهای شتاب و تغییر مکان می باشد. همچنین

$$\bar{S}_1 = M_{13}, \bar{S}_2 = M_{23}, \bar{S}_3 = M_{12}, \bar{S}_4 = M_{22}, \bar{S}_5 = M_1, \bar{S}_6 = QL \quad (5)$$

و L و $(1 + \delta)$ به ترتیب طول عضو قبل و بعد از تغییر شکل می باشند.

رابطه بین عضو براساس تئوری تیرستون به صورت زیر نوشته می شود [۱۲]:

$$M_{1j} = \frac{EI_j}{L} (C_{1j} \theta_{1j} + C_{2j} \theta_{2j}) \quad j = 2, 3 \quad (6)$$

$$M_{2j} = \frac{EI_j}{L} (C_{2j} \theta_{1j} + C_{1j} \theta_{2j}) \quad j = 2, 3 \quad (7)$$

$$M_1 = \frac{C_1}{L} \phi_1 \quad (8)$$

$$Q = EA \left(\frac{u}{L} - C_{b3} - C_{b2} \right) \quad (9)$$

$$\{\Delta \bar{S}\} = [t] \{\Delta \bar{u}\} \quad (16)$$

عناصر ماتریس $[t]$ در مرجع [۱۱] آمده و عناصر بردار $\{\Delta \bar{u}\}$ عبارتند از:

$$\bar{u}_1 = \theta_{13}, \bar{u}_2 = \theta_{23}, \bar{u}_3 = \theta_{12}, \bar{u}_4 = \theta_{22}, \bar{u}_5 = \phi_1, \bar{u}_6 = \frac{u}{L}$$

۳- روش محاسبات

پاسخ دینامیکی سازه با انتگرال گیری گام به گام به دست آمده، برای حل عددی انتگرال گیری روش β نیومارک [۱۰]، ($\beta = 0.25, \delta = 0.5$) انتخاب گردیده و روند تکرار نیوتن- رافسون در هر گام تا ارضاء کامل معادله حرکت به کار گرفته شده است. فرض می گردد تغییر مکان های گرهی $\{X\}^{(k)}$ در لحظه t_k مشخص باشد، آنگاه براساس روش نیومارک تغییر مکان و سرعت در لحظه t_{k+1} برابر است با:

$$\{\Delta X\} = (\Delta t) \{\dot{X}^{(k)}\} + \frac{1}{4} (\Delta t)^2 \{\ddot{X}^{(k)}\} + \frac{1}{4} (\Delta t)^2 \{\dot{X}^{(k+1)}\} \quad (17)$$

$$\{\Delta \dot{X}\} = \frac{1}{2} (\Delta t) \{\dot{X}^{(k)}\} + \frac{1}{2} (\Delta t) \{\dot{X}^{(k+1)}\} \quad (18)$$

به طوری که $\{X\}$ بردار سرعت گرهی می باشد. با جایگذاری رابطه (۱۸) در رابطه (۱۷) و حل آن بر حسب رابطه زیر حاصل می گردد:

$$\{\Delta \dot{X}\} = \frac{4}{(\Delta t)^2} (\Delta X) \frac{4}{(\Delta t)} \{\dot{X}^{(k)}\} - 2 \{\dot{X}^{(k)}\} \quad (19)$$

با جایگذاری معادله (۱۹) در رابطه (۱۱) رابطه زیر حاصل می گردد:

$$[t] \{\Delta X\} + \frac{4}{(\Delta t)^2} [M] \{\Delta X\} = \{\Delta P\} + \frac{4}{(\Delta t)} [M] \{\dot{X}^{(k)}\} + 2 [M] \{\ddot{X}^{(k)}\} \quad (20)$$

مقدار $[t]$ براساس تغییر شکل ها در ابتدای فاصله زمانی محاسبه می شود و با ثابت فرض کردن آن در طول زمان Δt مقدار $\{\Delta X\}$ حاصل می شود از آنجا که خصوصیات ثابت فرض شده است، نیروی نات تعادل $\{\Delta Q\}$ در انتهای فاصله زمانی ایجاد می گردد که مقدار آن با توجه به رابطه (۱۱) قابل محاسبه است:

$$[\tau] = \left[\begin{array}{c} \frac{\delta f_i}{\delta X_j} \end{array} \right] \quad (12)$$

ماتریس سختی مماسی سیستم می باشد.

۴-۲- ماتریس سختی مماسی عضو

رابطه بین تغییرات نیروها و تغییر مکان های عضو در دستگاه مختصات عمومی به صورت زیر نوشته می شود.

$$\{\Delta F\} = [T] \{\Delta V\} \quad (13)$$

به طوری که $\{V\}$ و $[T]$ به ترتیب بردار تغییر مکان های انتهایی عضو و ماتریس سختی مماسی عضو در دستگاه مختصات سازه می باشند و :

$$[T] = [R] [\bar{B}] [t] [\bar{B}]^T [R]^T + \sum S_k [R] [G]^{(k)} [R]^T \quad (14)$$

به طوری که $[t]$ ماتریس سختی مماسی عضو در دستگاه مختصات موضعی است:

$$[t] = \left[\begin{array}{|c|c|c|c|c|c|} \hline & \varepsilon_3 C_{13} & \varepsilon_3 C_{23} & & 0 & \frac{G_{13}}{H} \\ \hline & + \frac{G_{13}^2}{\pi^2 H} & + \frac{G_{13} G_{23}}{\pi^2 H} & + \frac{G_{13} G_{12}}{\pi^2 H} & + \frac{G_{13} G_{22}}{\pi^2 H} & \\ \hline & \varepsilon_3 C_{23} & \varepsilon_3 C_{13} & & 0 & \frac{G_{23}}{H} \\ \hline & + \frac{G_{13} G_{23}}{\pi^2 H} & + \frac{G_{23}^2}{\pi^2 H} & + \frac{G_{23} G_{12}}{\pi^2 H} & + \frac{G_{23} G_{22}}{\pi^2 H} & \\ \hline & & & \varepsilon_2 C_{12} & \varepsilon_2 C_{22} & 0 \frac{G_{12}}{H} \\ \hline & + \frac{G_{13} G_{12}}{\pi^2 H} & + \frac{G_{23} G_{12}}{\pi^2 H} & + \frac{G_{12}^2}{\pi^2 H} & + \frac{G_{12} G_{22}}{\pi^2 H} & \\ \hline & & & \varepsilon_2 C_{22} & \varepsilon_2 C_{12} & 0 \frac{G_{22}}{H} \\ \hline & + \frac{G_{13} G_{22}}{\pi^2 H} & + \frac{G_{23} G_{22}}{\pi^2 H} & + \frac{G_{12} G_{22}}{\pi^2 H} & + \frac{G_{22}^2}{\pi^2 H} & \\ \hline 0 & 0 & 0 & 0 & \frac{C_1}{EI} & 0 \\ \hline \frac{G_{13}}{H} & \frac{G_{23}}{H} & \frac{G_{12}}{H} & \frac{G_{22}}{H} & 0 & \frac{\pi^2}{H} \\ \hline \end{array} \right] \quad (15)$$

گره ۱ اعمال شده است می باشد، وضعیت بارگذاری دوم شامل ۷ بار متتمرکز واقع بر گره های ۱ تا ۷ است (شکل ۳). در شکل (۴) سه نوع بار دینامیکی که در اینجا به کار گرفته شده نشان داده شده است. همچنین در اشکال (۵) تا (۸) منحنی های بار - حداقل تغییر شکل قائم در حالات مختلف بارگذاری دینامیکی در وضعیت بارگذاری اول آمده است و جهت مقایسه منحنی بار - تغییر شکل در حالت استاتیکی در کنار سایر منحنی ها رسم شده است. در شکل (۵) منحنی بار - حداقل تغییر مکان قائم برای بار دینامیکی مستطیلی و منحنی بار - تغییر شکل استاتیکی در یک جا رسم گردیده است، شکل فوق نشان می دهد که بار بحرانی در حالت استاتیکی 8 kips و $15/11\text{ kips}$ بار بحرانی در حالت دینامیکی مستطیلی $76/11\text{ kips}$ می باشد یعنی چیزی در حدود 26% کاهش در بار بحرانی ایجاد گردیده است. در اشکال (۶) و (۷) منحنی بار حداقل تغییر شکل برای زمان های مختلف اعمال بار آمده است. با توجه به نتایج به دست آمده بارگذاری سینوسی هنگامی حداقل بار بحرانی را می دهد که زمان اعمال بار به پریود طبیعی ارتعاشی سازه نزدیک می گردد. تمامی اشکال نمایانگر این نکته است که نوع کماش ایجاد شده در اثر بارگذاری نوع اول از نوع پرش ناگهانی می باشد. در شکل (۸) منحنی های بار بحرانی بر علیه مدت زمان اعمال بار رسم گردیده اند. چنانچه مشاهده می گردد هر چه مدت زمان اعمال بار مثلثی طولانی تر می شود بار بحرانی در اثر بارگذاری مثلثی به میزان بار بحرانی در حالت بار دینامیکی مستطیلی نزدیکتر می گردد و هر چه مدت زمان اعمال بار سینوسی بیشتر می گردد، بار بحرانی در اثر بارگذاری سینوسی به بار بحرانی استاتیکی نزدیکتر می شود.

پایداری گند بند شکل (۳) در اثر وضعیت بارگذاری دوم در اشکال (۹) تا (۱۱) مورد بررسی قرار گرفته است. در محل اعمال بارهای فوق بار افقی $eP = 0/1$ اعمال گردیده است. در اثر بارگذاری فوق بار بحرانی سازه در حالت استاتیکی 17374 KN می باشد که سازه مقاومت خود را در مقابل بارهای جانبی از دست می دهد. در واقع ناپایداری از نوع چند شاخگی رخ می دهد.

مطالعه پاسخ دینامیکی قاب فضایی هشت عضوی

قباب پرتال هشت عضوی شکل (۱۲) تحت اثر زلزله ای سنترو اصلاح شده مورد بررسی قرار گرفته

$$\{\Delta Q\}_j = \{P\} - [M] \dot{\{X\}}_j - \{f\}_j \quad (21)$$

با فرض اینکه $\dot{\{X\}}_j = \{\Delta \Delta X\}_j$ ، $\ddot{\{X\}}_j$ تصحیحات مربوط به نیروی نامتعادل بر روی $\{\Delta X\}_j$ ، $\{\Delta \ddot{X}\}_j$ باشند. آنگاه از رابطه ۱۱۹ نتیجه گرفته می شود:

$$\dot{\{X\}}_j = \frac{4}{(\Delta t)^2} \{\Delta \Delta X\}_j \quad (22)$$

به طوری که $\dot{\{X\}}_j$ با استفاده از نیروی نامتعادل $\{Q\}_j$ به دست می آید.

$$[\tau]_j \{\Delta \Delta X\}_j + \frac{4}{(\Delta t)^2} [M] \{\Delta \Delta X\}_j = \{\Delta Q\}_j \quad (22)$$

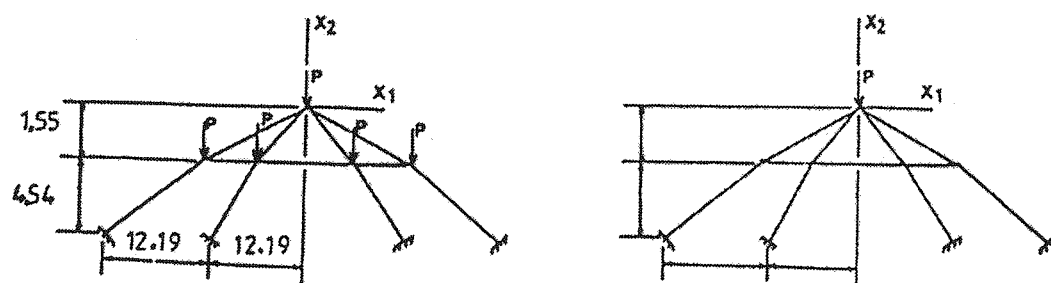
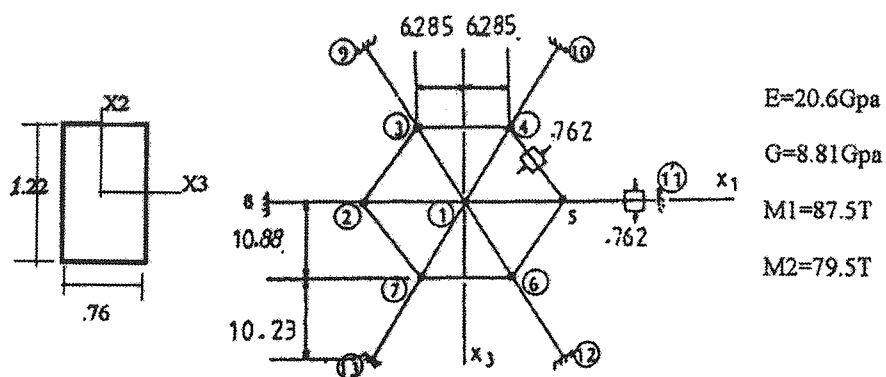
تقریب جدید مربوط به تغییر شکل های گرهی $\dot{\{X\}}_j = \{\Delta \Delta X\}_j + \{X\}_j$ خواهد بود. این عمل تا جایی تکرار می شود که $\{\Delta \Delta X\}_j$ به حد کافی کوچک و قابل صرف نظر کردن باشد.

۴- مسئله پایداری

بار بحرانی در حالت استاتیکی از صفر شدن دترمینان ماتریس سختی سازه حاصل می گردد، در واقع ماتریس ضرایب همان ماتریس سختی است. در حالی که هنگام اعمال بارهای دینامیکی ماتریس ضرایب ترکیبی از سختی و جرم می باشد. در حالت دینامیکی بار بحرانی باری است که با ایجاد اندکی افزایش در آن تغییر شکل ها به میزان زیادی افزایش یابد (معیار بادیتسکی - رات [۱۵]). در این مقاله منحنی های نیرو - حداقل تغییر شکل برای حالات مختلف بار دینامیکی رسم شده است. دو نوع ناپایداری پرش ناگهانی^۱ و چند شاخگی^۲ ممکن است رخ دهد که در مورد ناپایداری چند شاخگی با اعمال اندکی (تا حدود 10%) نیروی جانبی، منحنی نیرو - تغییر شکل مورد بررسی قرار گرفته است.

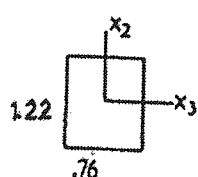
۵- مثال های عددی مطالعه پایداری گند ۱۸ عضوی:

مسئله پایداری گند (شکل (۲)) تحت اثر بارهای استاتیکی که به طور تجربی نیز مورد آزمایش قرار گرفته است، در مراجع [۴] و [۱۲] بحث شده است. در این مقاله پایداری گند فوق تحت اثر بارهای دینامیکی برای دو وضعیت بارگذاری مورد مطالعه قرار گرفته است و وضعیت بارگذاری اول شامل بار متتمرکز P که فقط بر



بارگذاری نوع (۲)

بارگذاری نوع (۱)



$E = 20.6 \text{ GPa}$

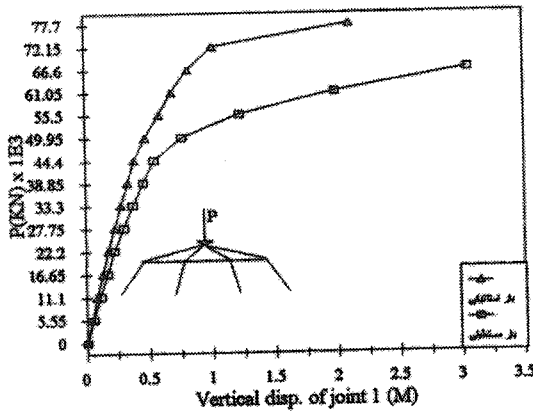
$G = 8.81 \text{ GPa}$

$M_1 = 87.5 \text{ tons}$

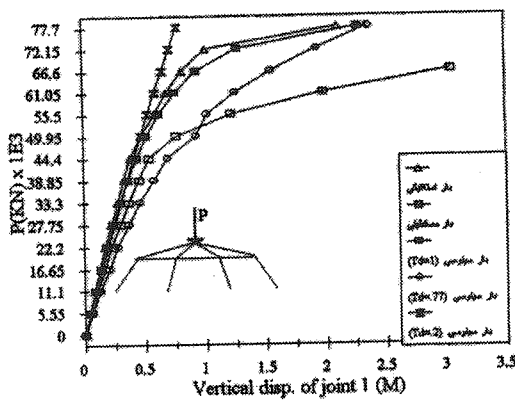
$M_2 = 79.5 \text{ tons}$

مشخصات مقطع

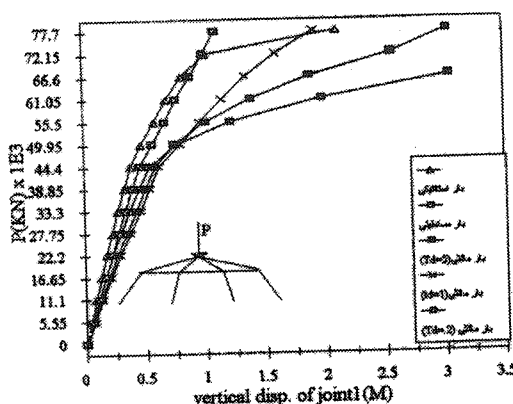
شکل (۳) گنبد ۱۸ عضوی ابعاد و مشخصات آن.



شکل (۵) منحنی بار - حداکثر تغییر مکان قائم گره ۱ گند ۱۸ عضوی (بار مستطیلی).

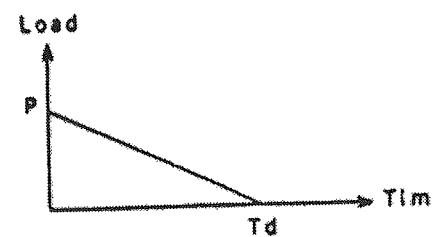


شکل (۶) منحنی بار - حداکثر تغییر مکان قائم گره ۱ گند ۱۸ عضوی (بارهای سینوسی).

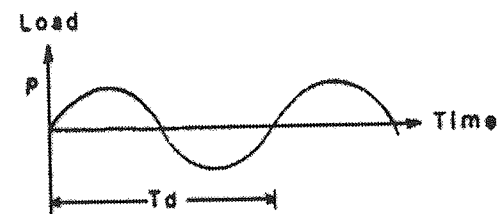


شکل (۷) منحنی بار - حداکثر تغییر مکان قائم گره ۱ گند ۱۸ عضوی (بارهای متنبی).

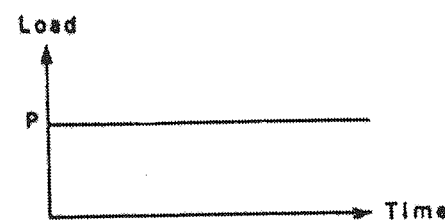
است. در شکل (۱۲) شتاب زلزله ال سنترو اصلاح شده رسم شده است. شکل (۱۴) برش پایه ستون ۱ سازه در لحظات مختلف را نشان می‌دهد، اشکال (۱۵) و (۱۶) پاسخ دینامیکی و برش پایه در حالت غیر خطی وقتی بارهای استاتیکی مختلفی به سازه اعمال می‌گردد را نشان می‌دهد. چنانچه ملاحظه می‌گردد افزایش بار استاتیکی مقدار برش پایه را کاهش می‌دهد (به علت کاهش سختی سازه ناشی از اعمال بار)، لیکن افزایش قابل ملاحظه‌ای در پاسخ سازه ایجاد نمی‌گردد (مگر در محدوده فرکانس بحرانی) همچنین دیده می‌شود که در میزان حد اکثر برش پایه تا حدود نصف تقلیل می‌ابد.



بار متنبی

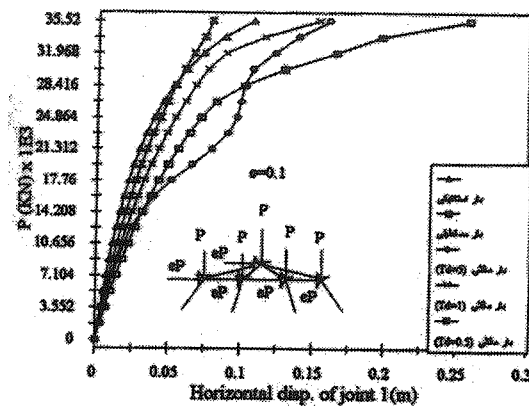


بار سینوسی

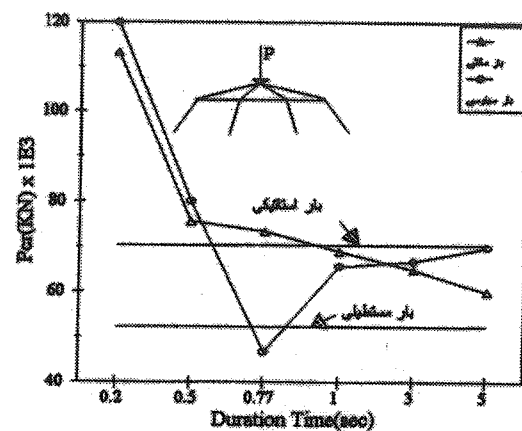


بار مستطیلی

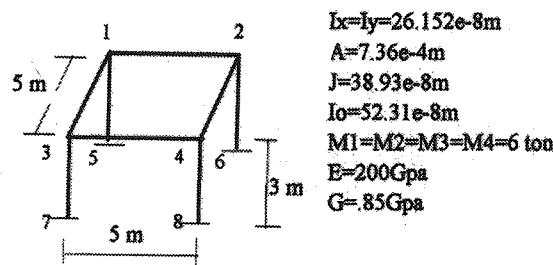
شکل (۴) توابع بار دینامیکی.



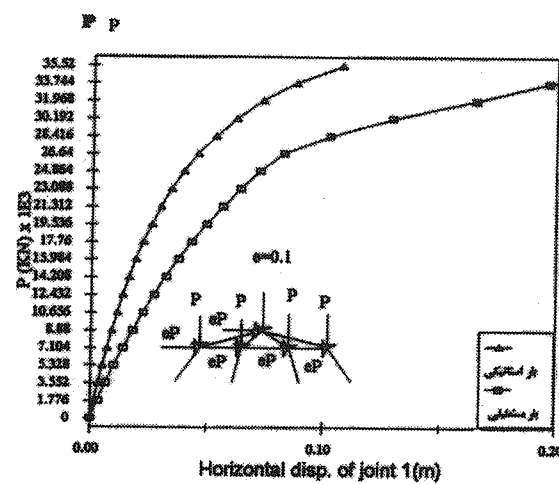
شکل (۱۱) منحنی بار - حداکثر تغییر مکان گره ۱
گند ۱۸ عضوی (بارهای مثلثی) .



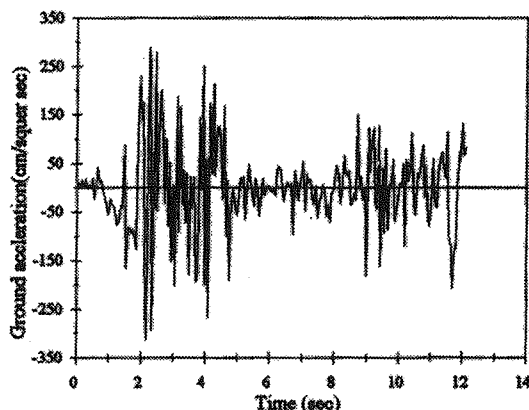
شکل (۸) منحنی بار بهترانی مدت زمان اعمال بار
گند ۱۸ عضوی (أنواع بار ديناميكي) .



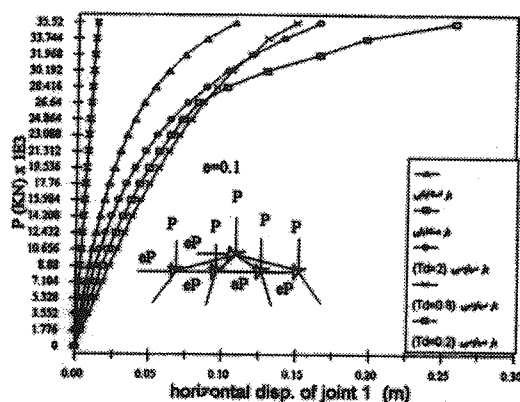
شکل (۱۲) قاب پرتال ۸ عضوی، ابعاد و مشخصات آن.



شکل (۹) منحنی بار - حداکثر تغییر مکان افقی گره ۱
گند ۱۸ عضوی (بار مستطیلی) . (e = 0.1)



شکل (۱۳) شتاب زلزله اول سنترو اصلاح شده .

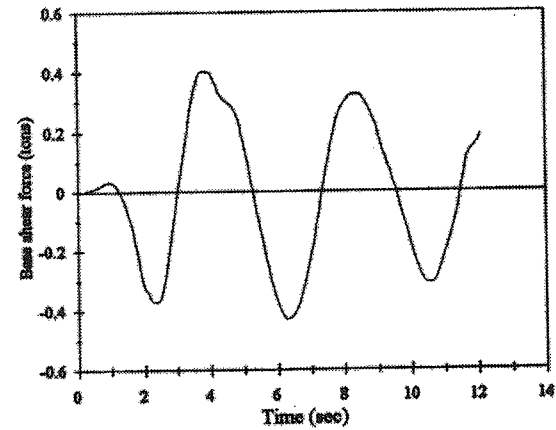


شکل (۱۰) منحنی بار - حداکثر تغییر مکان افقی
گره ۱ گند ۱۸ عضوی - (بارهای سینوسی).

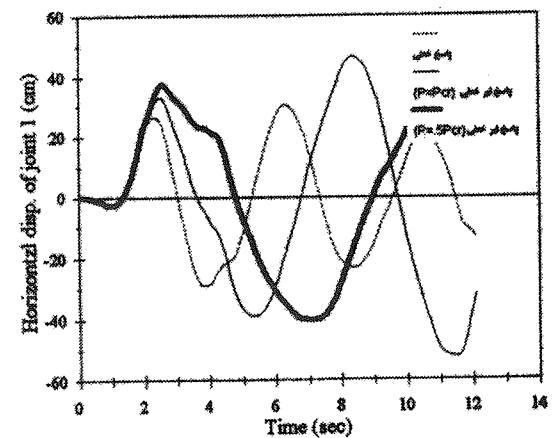
۶- خلاصه و تبیجه گیری

در این مقاله روشی برای تحلیل دینامیکی قاب‌های فضایی ارائه شده است. روش تحلیل براساس فرمول بندی اویلرین بوده و همچنین تغییر شکل‌های بزرگ گره‌ها و دوران‌های بزرگ اعضا در آن منظور شده است. بار بحرانی دینامیکی براساس معیار بادینسکی و رات محاسبه شده است. برای کنترل پایداری سه نوع بار دینامیکی مستطیلی با زمان نامحدود و بارهای مثلثی و سینوسی با زمان‌های محدود به سازه اعمال شده است. با توجه به منحنی‌های نیرو- تغییر شکل مشاهده شده که:

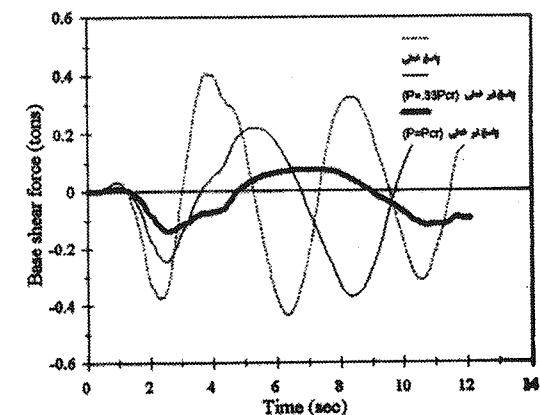
- ۱- سازه تحت اثر بارهای دینامیکی مستطیلی با زمان نامحدود در بار کمتری کمانش می‌کند.
- ۲- بار بحرانی سازه تحت اثر بار دینامیکی مثلثی با زمان کم بیشتر از بار بحرانی در حالت استاتیکی است. اگر مدت زمان اعمال بار طولانی شود، بار بحرانی شروع به کاهش می‌کند و در نهایت به بار مستطیلی می‌رسد.
- ۳- بار بحرانی سازه تحت اثر بار دینامیکی سینوسی در محلی که زمان اعمال بار به پریود طبیعی ارتعاشی سازه نزدیک می‌گردد حداقل مقدار خود را دارد و سپس اگر مدت زمان اعمال بار افزایش یابد بار بحرانی دینامیکی به بار بحرانی استاتیکی نزدیک می‌شود. در مطالعه پاسخ دینامیکی قاب پرتال متأثر از شتاب زلزله ال سنترو مشاهده شده که افزایش بارهای قائم بر روی سازه باعث کاهش میزان حداقل برش پایه می‌گردد. به طوری که وقتی بار قائم تقریباً نصف بار بحرانی سازه باشد، میزان حداقل برش پایه حدود ۵٪ کاهش می‌یابد در صورتی که در حداقل تغییر شکل‌های ایجاد شده اثر زیادی حاصل نمی‌گردد.



شکل (۱۴) برش پایه ستون ۱ در جهت X به صورت تابعی از زمان در حالت خطی (قاب پرتال) .



شکل (۱۵) تغییر مکان افقی گره ۱ قاب پرتال برای بارهای قائم مختلف در حالت غیرخطی .



شکل (۱۶) برش پایه ستون ۱ قاب پرتال برای بارهای قائم مختلف در حالت غیر خطی .

مراجع

- [1] S. M. Holzer, R. H. Plaut., A. E. Somers and W.S. White "Stability of lattice Structures under Combined loads. "J. Engng Mech. Div . ASCE. 106, 289-305 (1980).
- [2] S. Britvec and M.M. Davister "Post-buckling equilibrium of hyperstatic lattices". J. Engng. Mech. ASCE, 111, 287-310, (1985).
- [3] A. Kassimali, "Large deflection analysis of elastic-plastic frames, ", J. Struct . Engrg., ASCE, 109 (8), 1869 - 1886 (1983).
- [4] A. Kassimali and R. Abbasnia, "Large deformation analysis of elastic space frames, " J. Struct. Engrg. ASCE, 117 (7), 2069-2087, (1991).
- [5] A. Kassimali, "Nonlinear static and dynamic analysis of frames". Thesis Presented to the University of Missouri at Columbia, Misroui, in partial fulfilment of the requirements for the degree of Doctor of Philosophy (1979).
- [6] C. Oran and A. Kassimali, "Large deformations of framed structures under static and dynamic loads.", comput. & struct., 6, 539-547, (1976).
- [7] H. Adeli and M. Gere "Algorithms for nonlinear structural dynamics. ", J. Struct, Div., ASCE, 10, 263-280, (1978).
- [8] A. Kassimali and E. Bidhendy, "Stability of trusses under dynamic loads.", Comput. & Struct., 29 (3), 381-392, (1988).
- [9] K. ZHU and A. Al-Bermani, "Nonlinear dynamic analysis of lattice structures. ", Comput. & Struct., 52 (1), 9-15, (1994)
- [10] R. Abbasnia and A. Kassimali, "Large deformation elastic-plastic analysis of space frames. ", J. Const. Steel Research, 35, 275-290, (1995).
- [11] R. Abbasnia, "Nonlinear analysis of plane frames. ", Thesis presented to the University of Southern Illinois, for the degree of M.S. (1987).
- [12] C. Oran, "Tangent stiffness in plane frames, "J. Struct. Div. ASCE, 99 (6) 987-1001, (1973).
- [13] M. Papadrakakis, and Ghionis, "Conjugate gradient algorithms in nonlinear structural analysis problems, "Comput. Methods Appl. Mech. and Engrg., 59 91), 11-27, (1986).
- [14] A. Kassimali, "Large deflection analysis of elastic-plastic frames". J struct. Engrg. ASCE, 109 98), 1869-1886 (1983).
- [15] B. Budinsky and R. S. Roth, "Axymmetric dynamic buckling of clamped shallow spherical shells. "NASA. TND.- 1510 (1962).